



Application of MAPS and experience in development of Inner Tracking System (ITS) for ALICE at the LHC

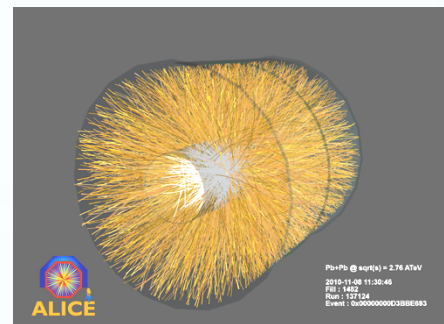
Grigory Feofilov, Vladimir Zhrebchevsky
St. Petersburg State University, St. Petersburg, Russia

Hardware meeting of SPD@NICA on Thu at 10:00

<https://indico.jinr.ru/event/3239/>

<https://us02web.zoom.us/j/83505798654?pwd=dU5FOS9IUU1mTEtNaFR0Sk8rZm1pUT09>

Лаборатория физики сверхвысоких энергий СПбГУ (рук.Г.А.Феофилов)



Лаборатория в настоящее время принимает участие в международных научных коллаборациях на установках класса мегасайенс в ЦЕРН и в ОИЯИ:

- 1) С 1992 года – в эксперименте ALICE на БАК в ЦЕРН. В 1992-2002 годах - лидер по 2-м системам ALICE. Мировой рекордный уровень радиационной прозрачности Внутренней трековой системы (ITS).
- 2) 1992-2002 – Полная инженерная проработка ITS-CMA (Cooling-Mechanics-Assembly) ALICE, + технологии, + изготовление систем поддержки кремниевых детекторов и охлаждения front-end электроники ITS
- 3) 1996 -2003: в эксперименте NA57 по исследованию выхода странных частиц в адронных столкновениях на SPS в ЦЕРН
- 4) С 2006 года – в эксперименте NA61/SHINE по исследованию фазового перехода и поиску критической точки ядерной материи на SPS в ЦЕРН.
- 5) С 2018 года - участие в подготовке экспериментов MPD и SPD на коллайдере NICA в ОИЯИ

Учебная лаборатория ядерных процессов (руководитель В.И.Жеребчевский)

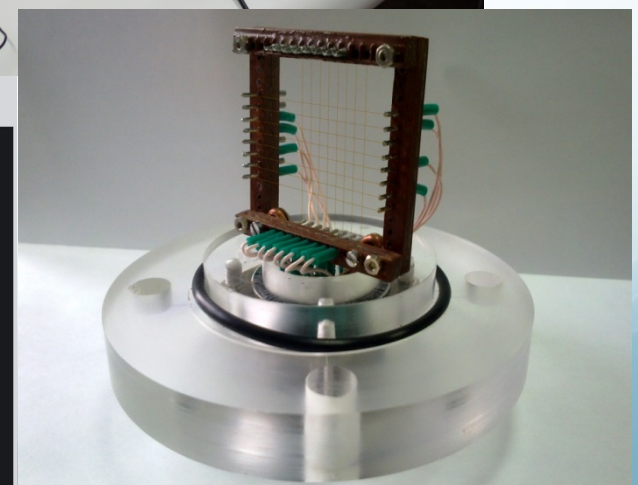
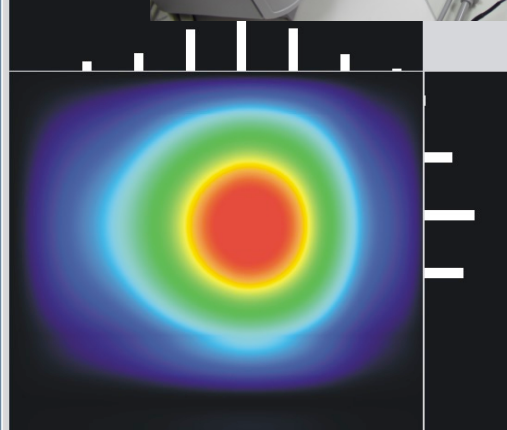


Испытания КМОП детекторов для экспериментов ALICE и NA61(SHINE) в ЦЕРН

Ядерные реакции

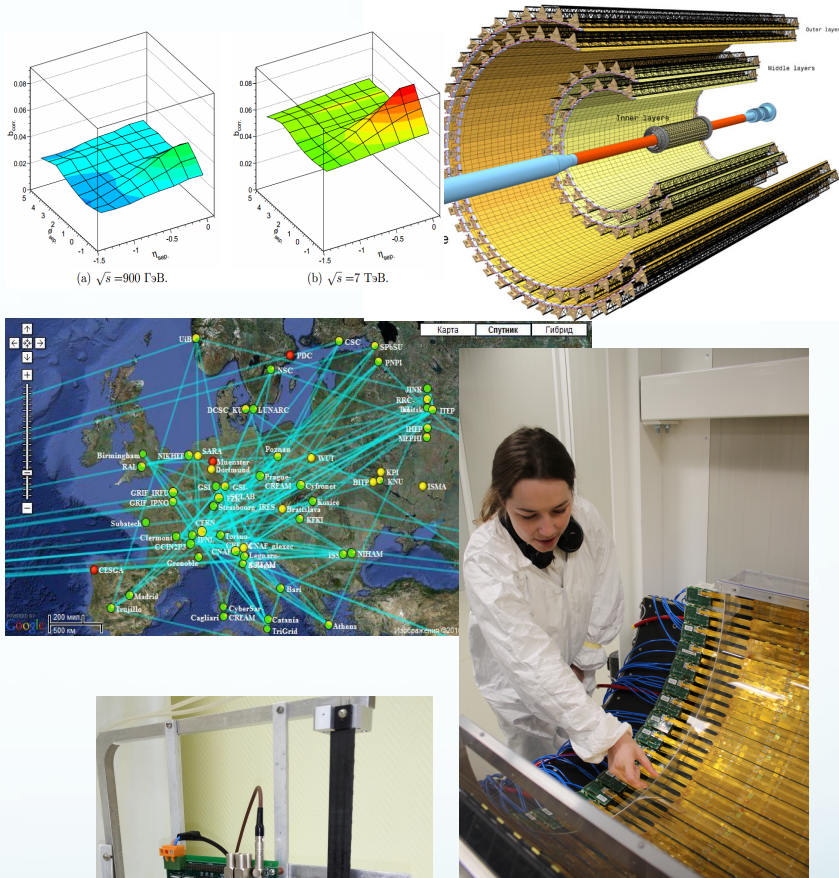
Ускорительные технологии

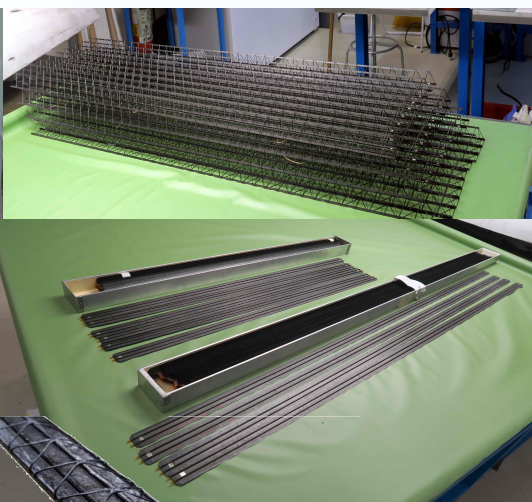
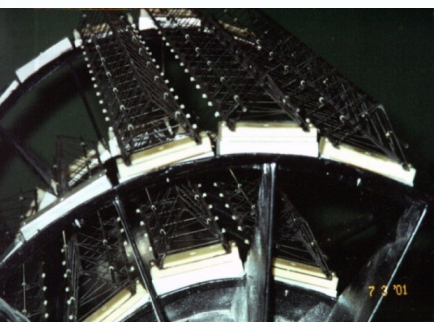
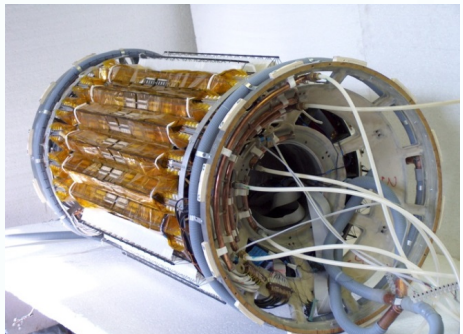
Ядерная медицина



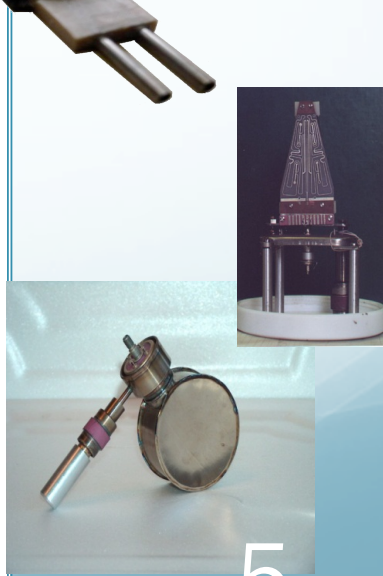
Лаборатория физики сверхвысоких энергий СПбГУ: направления

- 1) Теоретические исследования и поиск новых физических явлений в адронных столкновениях при энергиях коллайдеров БАК и NICA
- 2) Участие в подготовке и проведении экспериментов ALICE и NA61(SHINE) в ЦЕРН, анализ и обработка данных по ядро-ядерным столкновениям при высоких энергиях
- 3) Координация грид-сайтов ALICE в РФ, Развитие Грид-технологий в СПбГУ и в РФ (World wide Large hadron collider Computing Grid - WLCG) с целью обеспечения накопления, обработки и анализа данных мегаустановки ALICE на БАК
- 4) Исследования свойств кварк-глюонной среды в экспериментах по pp, p- Λ и Λ - Λ столкновениям и обработка больших объемов данных
- 5) Разработка новейших детектирующих систем вершинных кремниевых детекторов для экспериментов ALICE, NA61(SHINE) и MPD и SPD на коллайдере NICA
- 6) Разработка системы мониторирования пучков коллайдера NICA
- 7) Ядерная медицина: адронная терапия
- 8) Профориентационная работа со школьниками: практика, мастер-классы по работе с данными БАК, лекции, дни Науки





- Полномасштабный тепловой макет Вершинного трекового детектора ALICE ITS/SDD (более 2000 элементов) и углекомпозитный макет ITS (2002)
- Сверхлегкие углекомпозитные структуры поддержки кремниевых детекторов ALICE: ферма длиной 1.1м весом 24 г удерживает 2кг груз (2002 год)
- Сверхлегкие углекомпозитные фермы (L=1500 мм, вес ~33.6г) и тепловые панели (L=1500 мм, вес 80 г) для новейших пиксельных детекторов модернизированной установки ALICE на БАК (2019 год).
- Углекомпозитная тепловая панель с интегрированной системой охлаждения (0.5 Ватт/см²) (2019 год)
- Стенд с криогенным охлаждением для испытания КМОП детекторов для экспериментов ALICE и NA61(SHINE) в ЦЕРН
- Детектор на МКП в тонкостенной (100 мкм) вакуумной камере с геттерным насосом



Tracking of charged particles

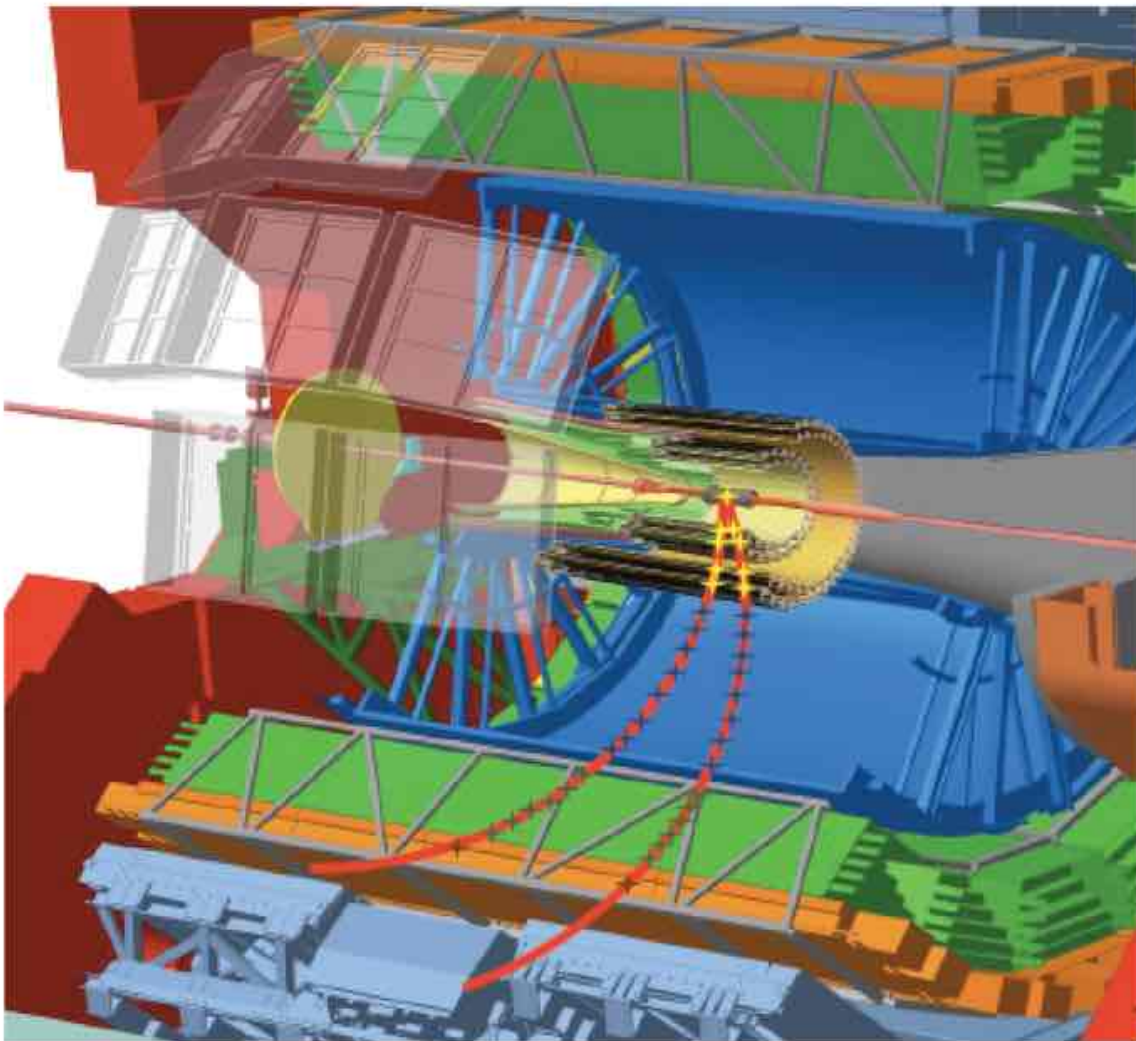


Illustration of ALICE detectors used in track reconstruction and particle identification^[1]

- ITS
- TPC (blue)
- TRD (green)
- TOF(orange)

[1] “Track Reconstruction in the ALICE TPC using GPUs for LHC Run 3”, David Rohr et al., arXiv:1811.11481



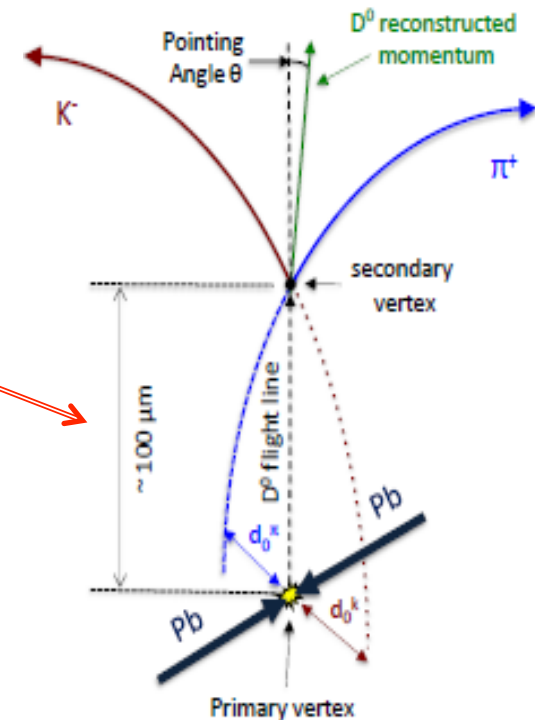
Challenges for open charm measurements

- **Challenge-1: Short life-time of D-mesons** ($\langle \tau \rangle = 410.1 \pm 1.5 \times 10^{-15} \text{ s}$ [1])
Small mean decay length !

**Reconstruction
from hadronic decay channels,**

$c\tau \sim 100 \mu\text{m}$ (!)

| Meson | Decay Channel | $C\tau$ | Branching Ratio |
|----------|---|---------------------|---------------------|
| D^0 | $D^0 \rightarrow K^- + \pi^+$ | $122.9 \mu\text{m}$ | $(3.91 \pm 0.05)\%$ |
| D^0 | $D^0 \rightarrow K^- + \pi^+ + \pi^+ + \pi^-$ | $122.9 \mu\text{m}$ | $(8.14 \pm 0.20)\%$ |
| D^+ | $D^+ \rightarrow K^- + \pi^+ + \pi^+$ | $311.8 \mu\text{m}$ | $(9.2 \pm 0.25)\%$ |
| D_s^+ | $D_s^+ \rightarrow K^+ + K^- \pi^+$ | $149.9 \mu\text{m}$ | $(5.50 \pm 0.28)\%$ |
| D^{*+} | $D^{*+} \rightarrow D^0 + \pi^+$ | ----- | $(61.9 \pm 2.9)\%$ |



Vito Manzari,
LXV Conf.Nucl.Phys.,
29.06-03.07.2015, SPb

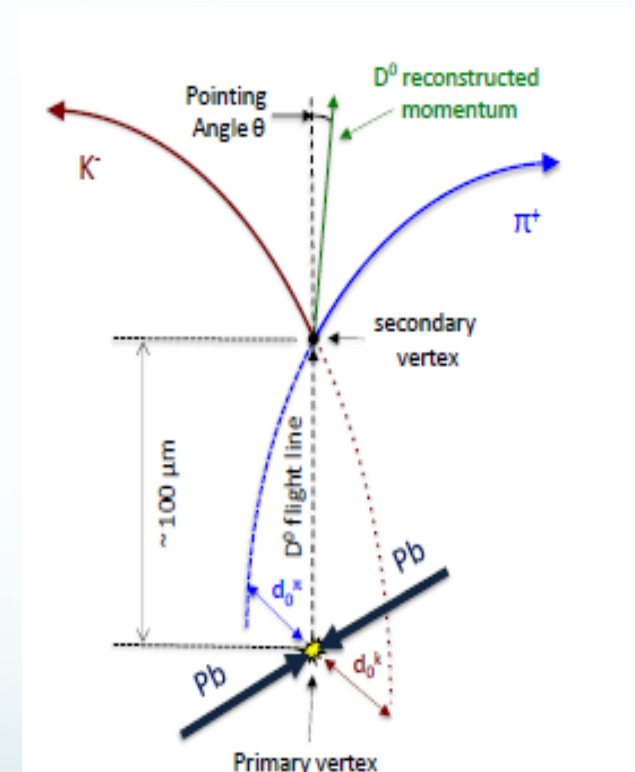
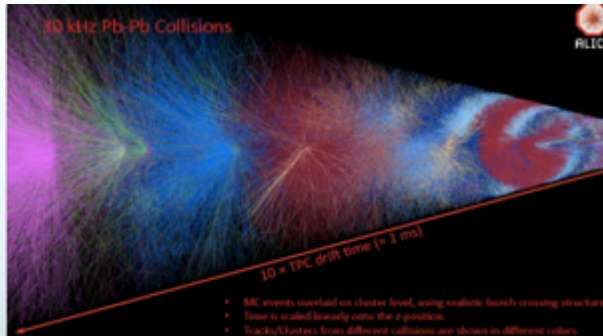
[1]PDG, PL B667, 1 (2008)

Challenges for open charm measurements

- Challenge-2: high efficiency is needed for rare-probe registration

Coverage in transverse momentum to be as complete as possible, **in particular down to very low momenta.**

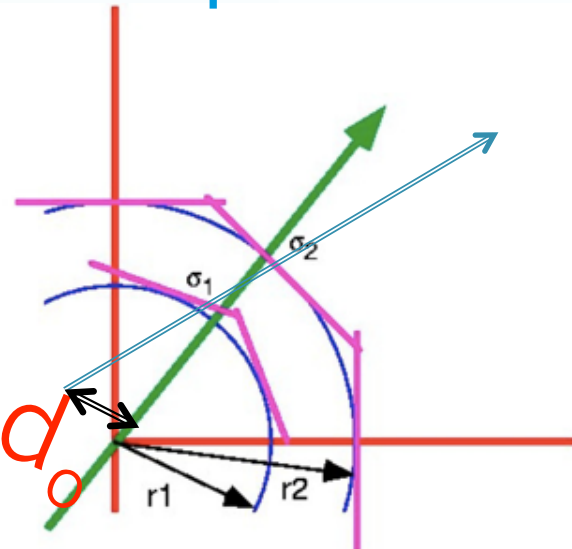
- Challenge-3: Fast detectors and continuous readout^[1] to ensure statistics



[1] David Rohr et al., arXiv:1811.11481

Impact parameter (d_0) resolution in particle tracking

- Example with two-layer setup: $\sigma_{d_0}^2 = \sigma_{MS}^2 + \sigma_{geom}^2$



with

$$\sigma_{geom}^2 = \left(\frac{\sigma_1 r_2}{r_2 - r_1} \right)^2 + \left(\frac{\sigma_2 r_1}{r_2 - r_1} \right)^2 \quad \text{and} \quad \sigma_{MS}^2 = \sum_{j=1}^{n_{scatt}} (R_j \Delta \Theta_j)^2$$

- Strong effect of Multiple Scattering (MS):

$$\sigma_{d_0} = \frac{r}{p} 13.6 \text{ MeV} \sqrt{\frac{x}{X_0}} \left[1 + 0.038 \log \left(\frac{x}{X_0} \right) \right]$$

REQUIREMENTS are very contradictory (!):

- Sensors with high coordinate resolution -- minimize σ_1 and σ_2 (!)
- The first layer close to interaction point (IP) -- decrease r_1 (!)
- **The multiple scattering** should be minimized – apply low-mass, low-Z materials to provide **the minimal possible X/X_0** (!)
- **Ensure high thermo- and mechanical stability $\sim 10 \mu\text{m}$** (!)

ITS-2 concept

Based on high resistivity epi layer MAPS

3 Inner Barrel layers (IB)

4 Outer Barrel layers (OB)

Radial coverage: 21-400 mm

~ 10 m²

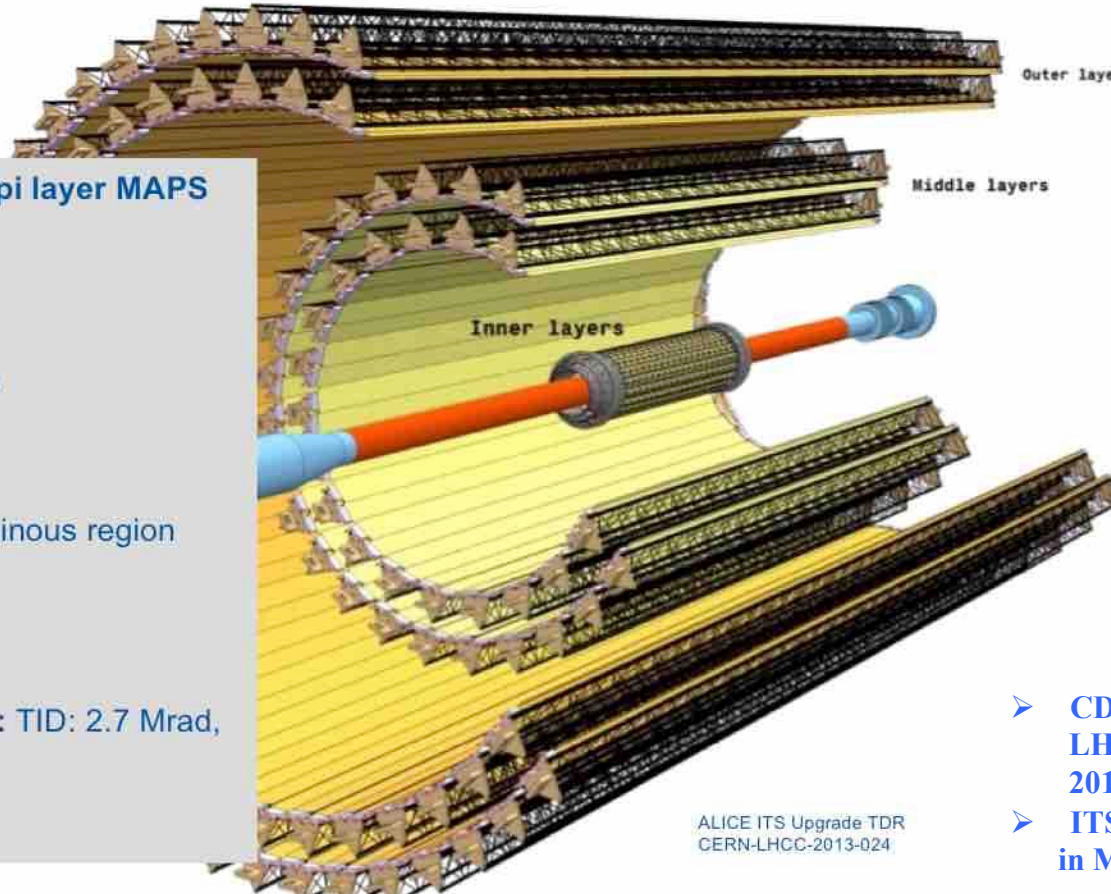
| η |<1.22 over 90% of the luminous region

0.3% X_0 /layer (IB)

0.8 % X_0 /layer (OB)

**Radiation level (IB, layer 0): TID: 2.7 Mrad,
 1.7×10^{13} 1 MeV n_{eq} cm⁻²**

Installation during LS2

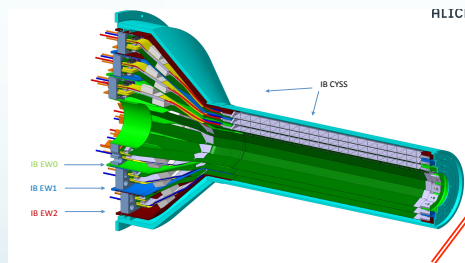


- CDR: Endorsed by LHCC in Sept. 2012
- ITS Upgrade TDR: in March 2014

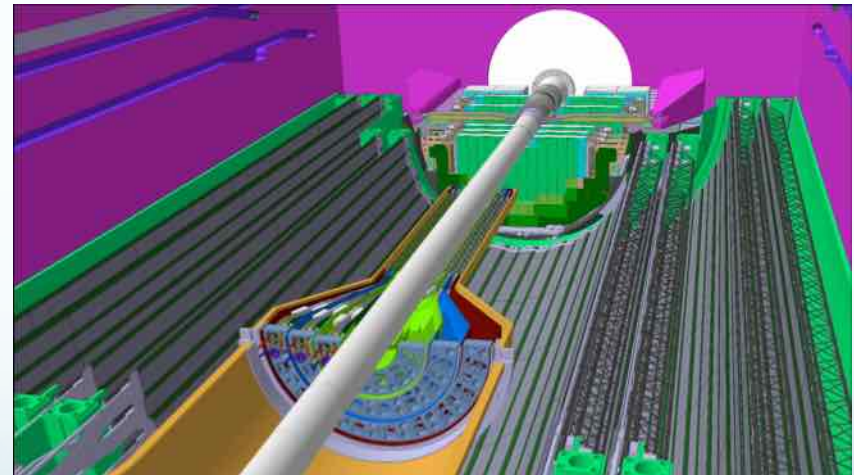
➤ 12.5 Gpixel ITS-2 based on Monolithic Active Pixel Sensors (MAPS)

Comparison of ALICE with ATLAS and CMS upgrade

| | current ALICE | ALICE upgrade | ATLAS upgrade | CMS upgrade |
|--|---------------|---------------|---------------|-------------|
| innermost point (mm) | 39.0 | 22.0 | 25.7 | 30.0 |
| x/X_0 (innermost layer) | 1.14% | 0,35% | 1.54% | 1.25% |
| d_0 res. $r\phi$ (μm) at 1 GeV/c | 60 | 20 | 65 | 60 |
| hadron ID p range (GeV/c) | 0.1–3 | 0.1–3 | – | – |



ALICE Inner Barrel



ALICE ITS-2 general design

CERN-LHCC-2012-013 (LHCC-P-005)

NUCLEUS –2020

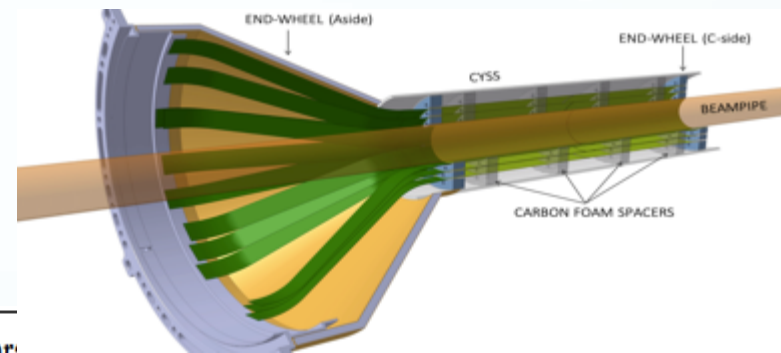
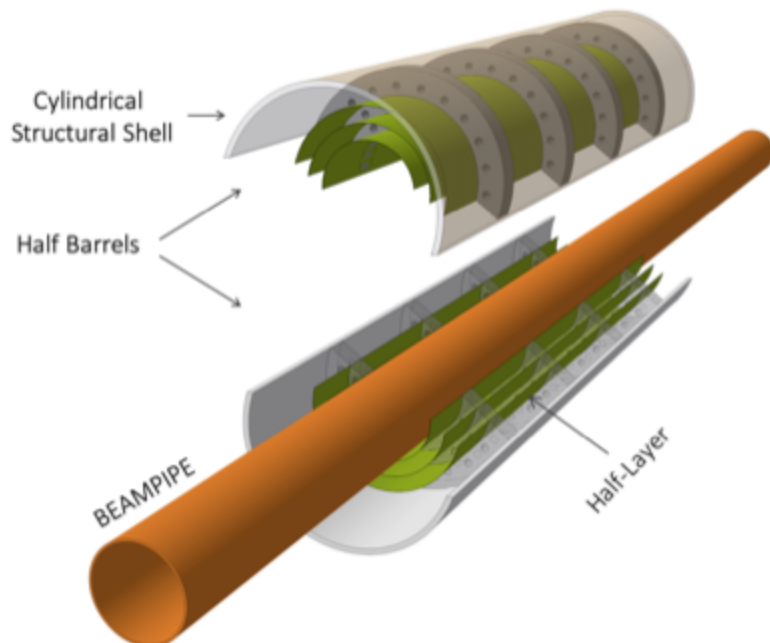
Grigory Feofilov



Concept of ultra-light ITS-3[1]



Ultra-thin
bent Si wafers



| IB Layer parameters | Layer 0 | Layer 1 | Layer 2 |
|--|---------------------|-------------------|-----------------|
| Radial position (mm) | 18.0 | 24.0 | 30.0 |
| Length (sensitive area) (mm) | 270 | 270 | 270 |
| Pseudo-rapidity coverage ^a | ± 2.5 | ± 2.3 | ± 2.0 |
| Active area (cm^2) | 305 | 408 | 508 |
| Pixel sensors dimensions (mm^2) | 280×56.5 | 280×75.5 | 280×94 |
| Number of pixel sensors / layer | | | 2 |
| Pixel size (μm^2) | $O(15 \times 15)^b$ | | |

^a The pseudorapidity coverage of the detector layers refers to tracks originating from a collision at the nominal interaction point ($z = 0$).

^b For the fallback solution the pixel size is about a factor two larger ($O(30 \times 30) \mu\text{m}^2$).

- Gaseous cooling and vibrations of 20 micron thick large area sensors

[1] ALICE-PUBLIC-2018-013

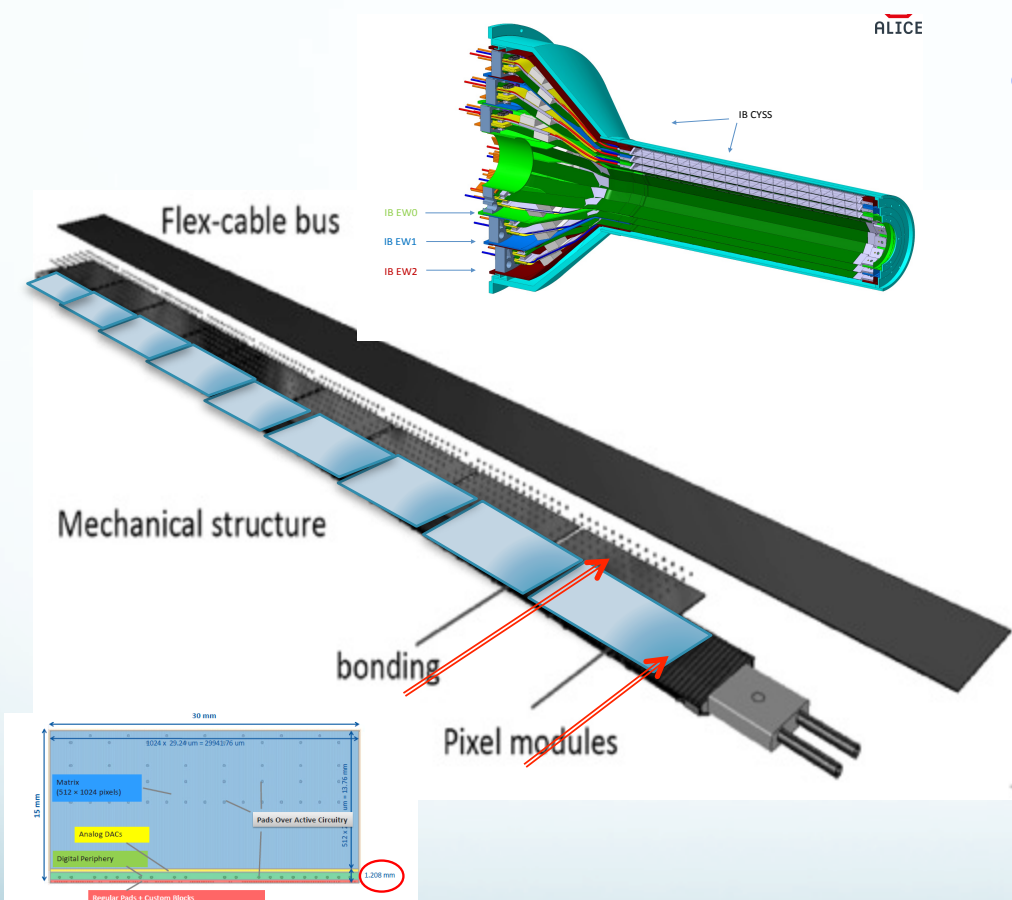
NUCLEUS –2020

Grigory Feofilov

**MAPS tests : see the next report by
Vladimir Zhrebchevsky**

Back-up slides

ALICE technology for Inner Barrel staves of ITS-2



Thickness of detector components in terms of fraction of radiation length X/X_0 -

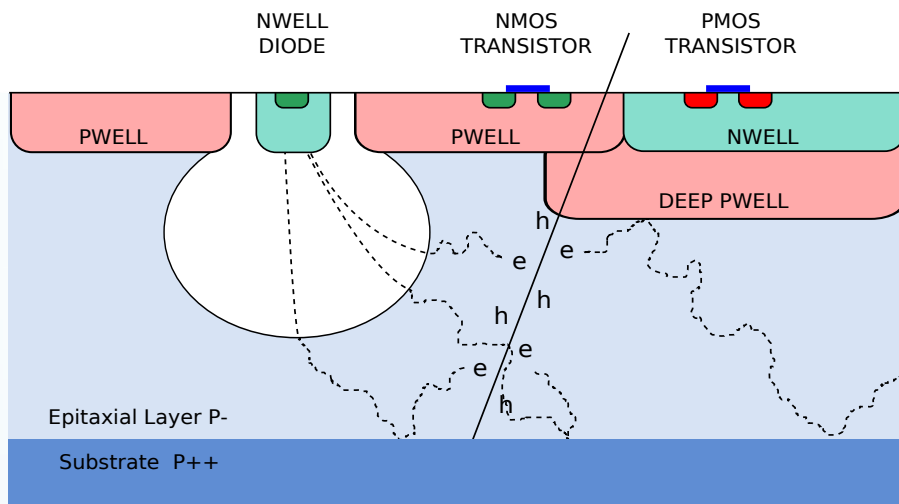
| Material | Thickness (μm) | X_0 (cm) | X/X_0 (%) |
|-----------------------------|-----------------------------|------------|--------------|
| Polyimide cooling pipe wall | 25 μm | 28.41 | 0.003 |
| Carbon fleece | 40 μm | 106.8 | 0.004 |
| Water | 1mm | 35.76 | 0.032 |
| Carbon fiber plate K13D2U | 70 μm | 26.08 | 0.027 |
| Graphite foil | 30 μm | 26.56 | 0.011 |
| Thermal greese (glue) | 100 μm | 44.37 | 0.023 |
| Si-sensor | 50 μm | 9.36 | 0.064 |
| Total (without FPC) | | | 0.164 |
| Total | | | ~0.3 |

➤ Record level of radiation transparency < 0.35% X_0 [1].

[1] arXiv:1706.02110v2

CMOS Pixel Sensor [1]

TowerJazz 0.18 μm CMOS Imaging Process



Schematic of MAPS pixel

- Pixel pitch $\sim 30 \mu\text{m}$
- High-resistivity ($> 1 \text{ k}\Omega \text{ cm}$) p-type epitaxial layer ($25 \mu\text{m}$) on p-type substrate
- Small n-well diode ($2 \mu\text{m}$ diameter),
=> low capacitance
- Reverse bias voltage to substrate (contact from the top) can be used to increase depletion zone around NWELL collection diode
- Deep p-well shields n-well L of PMOS Transistors
- Very low power dissipation ($< 300 \text{ nW/pixel}$)

[1] J. Phys. G: Nucl. Part. Phys. **41** (2014) 087002